



Laboratorium EMVO Sp. J. Urbański, Pawelak  
ul. Jasna 1  
00-013 Warszawa

tel. +48 22 780 29 64  
e-mail: laboratorium@emvo.pl



AB 1630

## Sprawozdanie z pomiarów pól elektromagnetycznych - środowisko nr 42/05/OŚ/2023- ELT



Nr i nazwa stacji	BT42107_ELBLĄG_KOŚCIÓŁ	
Adres	82-300 Elbląg, ul. Wiejska 4, warmińsko-mazurskie	
Opracowanie	Martyna Karczmarczyk	Specjalista ds. pomiarów
Autoryzacja	Andrzej Urbański	Kierownik Laboratorium
Podpis		
Data	2023-06-01	

## Spis treści

1. Informacje ogólne.....	3
2. Podstawa prawna. ....	3
3. Opis pomiarów.....	3
4. Zróżnicowanie dopuszczalne poziomy pól elektromagnetycznych.....	5
5. Charakterystyka źródeł PEM.....	5
6. Wyniki pomiarów.....	5
7. Stwierdzenie zgodności .....	6
8. Oświadczenie.....	7
9. Spis załączników. ....	8

## 1. Informacje ogólne.

Zleceniodawca	<b>Axians Networks Poland Sp. z o.o.</b> ul. Annopol 4a, 03-236 Warszawa Osoba udzielająca informacji – Piotr Miliszkiewicz
Istotne informacje dostarczone przez klienta	komplet informacji niezbędnych do wykonania pomiarów i opracowania sprawozdania
Dane otrzymane od klienta mogące mieć wpływ na ważność wyników	Dane anten sektorowych, dane anten radioliniowych, parametry pracy instalacji, poprawka pomiarowa, ustawienie pochylenia anten
Prowadzący instalację	<b>TOWERLINK POLAND SP. z.o.o.</b> , ul. Kasprzaka 4, 01-211 Warszawa
Lokalizacja obiektu	82-300 Elbląg, ul. Wiejska 4, warmińsko-mazurskie
Miejsce instalacji anten	Kościół
Miejsce instalacji urządzeń	Indoor
Osoby wykonujące pomiar	Wojciech Kaczorek
Data wykonania pomiaru	01.06.2023
Temperatura na początku pomiaru [°C]	14,0
Temperatura na koniec pomiaru [°C]	14,0
Warunki atmosferyczne	Brak opadów
Wilgotność na początku pomiaru [%]	70,0
Wilgotność na koniec pomiaru [%]	70,0
Godzina na początku pomiaru	8:00
Godzina na koniec pomiaru	9:20
Inne źródła pól elektromagnetycznych oznaczone na załączniku graficznym	Nie występują
Parametry pracy instalacji	Tryb eksploatacyjny

## 2. Podstawa prawna.

### 2.1 Normy i rozporządzenia:

- Obwieszczenie Ministra Klimatu i Środowiska z dnia 21 listopada 2022 r. w sprawie ogłoszenia jednolitego tekstu rozporządzenia Ministra Klimatu w sprawie sposobów sprawdzania dotrzymania dopuszczalnych poziomów pól elektromagnetycznych w środowisku (Dz.U. 2022 poz. 2630)
- Rozporządzenie Ministra Zdrowia z dnia 17 grudnia 2019 r. w sprawie dopuszczalnych poziomów pól elektromagnetycznych w środowisku (Dz.U. 2019 poz. 2448)
- Obwieszczenie Marszałka Sejmu Rzeczypospolitej Polskiej z dnia 1 grudnia 2022 r. w sprawie ogłoszenia jednolitego tekstu ustawy - Prawo ochrony środowiska (Dz.U. 2022 poz. 2556).

### 3. Opis pomiarów

Metodologia pomiarowa	Pomiary w oparciu o Rozporządzenie Ministra Klimatu z dnia 17 lutego 2020 r. w sprawie sposobów sprawdzania dotrzymania dopuszczalnych poziomów pól elektromagnetycznych w środowisku (Dz.U. 2022 poz. 2630).
Cel badań	Określenie wartości natężenia pola elektrycznego w miejscach dostępnych dla ludności.
Opis zestawu pomiarowego	Miernik Narda NBM 550, Sonda EF9091, o zakresie pomiarowym 0,7 V/m - 300V/m pracująca w paśmie 0,1 – 90 GHz, świadectwo wydane przez Laboratorium Wzorców i Metrologii Pola Elektromagnetycznego, Instytut Telekomunikacji, Teleinformatyki i Akustyki Politechniki Wrocławskiej. Świadectwo ważne do 10.06.2024r. Miernik Narda NBM 550, Sonda EF9091 pracująca w zakresie temperatury -10°C +50°C oraz wilgotności 5% - 95%. Niepewność rozszerzona 59% przy poziomie ufności 95% z uwzględnieniem współczynnika rozszerzenia k=2.
Wyposażenie pomocnicze	Termohigrometr Termoprodukt, typ: Termik+, Nr. inwentarzowy 43/WL, nr identyfikacyjny 1530619, świadectwo wzorcowania nr 0392/AH/20 z dn. 02.03.2020 r. wydane przez Laboratorium Pomiarowe "MUTECH". Dalmierz laserowy BOSH GLM 40, Nr. inwentarzowy 27/WL, nr seryjny 711425432, Świadectwo wzorcowania L4-L41.4180.141.2018.3061.1 z dnia 12 września 2018 wydane przez Pracownia Długości Samodzielnego Laboratorium Długości w Głównym Urzędzie Miar. GPS Garmin 64s okresowo sprawdzany w punktach osnowy geodezyjnej klasy 3 na podstawie licencji punktu, zgodnie z procedurą sprawdzeń okresowych IS/PO16-11/03.
Pomiary zostały wykonane	<ol style="list-style-type: none"><li>1. na głównych i pomocniczych kierunkach pomiarowych, na kierunkach zbliżonych do azymutów anten oraz w dodatkowych pionach pomiarowych zgodnie z wymaganiami pkt 12, 13, 14 i 19 Rozporządzenia Ministra Klimatu z dnia 17 lutego 2020 r. (Dz.U. 2022 poz. 2630).</li><li>2. na obszarze pomiarowym, dla którego, na podstawie uprzednio przeprowadzonych obliczeń stwierdzono w miejscach dostępnych dla ludności występowanie pól elektromagnetycznych o najwyższym poziomie, które pochodzą z badanej instalacji zgodnie z wymaganiami pkt 5 ppkt 2 oraz pkt 13 ppkt 1 Rozporządzenia Ministra Klimatu z dnia 17 lutego 2020 r. w sprawie sposobów sprawdzania dotrzymania dopuszczalnych poziomów pól elektromagnetycznych w środowisku (Dz.U. 2022 poz. 2630). Wyniki obliczeń nie uwzględniały parametrów pracy instalacji innych operatorów występujących na obiekcie bądź w obszarze pomiarowym.</li><li>3. w miejscach dostępnych dla ludności.</li><li>4. miejsca niedostępne podczas wykonywania pomiarów wskazane zostały w pkt 6 (tabeli wyniki pomiarów)</li></ol>
Szczególne warunki podczas wykonywania pomiarów	Pomiary wykonane zostały podczas obowiązywania w kraju stanu zagrożenia epidemicznego, zgodnie z art. 122a ust. 1b Ustawy z dnia 27 kwietnia 2001 r. – Prawo ochrony środowiska (Dz. U. z 2019 r. poz. 1396, z późn. zm.9))
Warunki pracy urządzeń nadawczych	Tryb pracy eksploatacyjny.

#### 4. Zróźnicowanie dopuszczalne poziomy pól elektromagnetycznych.

Zakresy znajdują się w Dzienniku Ustaw z dnia 17 grudnia 2019 r. przedstawione są w tabeli nr 2 (Dz. U. z 2019r. poz. 2448).

Parametr fizyczny	Składowa elektryczna E (V/m)	Składowa magnetyczna H (A/m)	Gęstość mocy S (W/m <sup>2</sup> )
Zakres Częstotliwości pola elektromagnetycznego			
od 400 MHz do 2000 MHz	$1,375 \times f^{0,5}$	$0,0037 \times f^{0,5}$	$f / 200$
od 2 GHz do 300 GHz	61	0,16	10

#### 5. Charakterystyka źródeł PEM.

Zgodnie z informacją otrzymaną od Klienta pomiary zostały wykonane przy ustawieniach pochylenia anten zgodnych z pkt. 13, ppkt 2 Rozporządzenia Ministra Klimatu z dnia 17 lutego 2020 roku.

Tabela 1. Anteny sektorowe - dane otrzymane od klienta

Typ anteny	Współrzędne geograficzne	Azymut mechaniczny [°]	Azymut elektryczny [°]	Wysokość zawieszenia anten (środek anteny) n.p.t. [m]	Pasma częstotliwości [MHz]	Zakres pochylenia elektrycznego [°]	Średnie pochylenie anten (ustawione do pomiarów PEM) [°]	Zakres pochylenia mechanicznego [°]	Moc EIRP [W]	Suma EIRP [W]
ATR4518R13V06	54°11'04.50"N 19°23'47.70"E	78	78	36,80	1800	0,0 - 5,5	3,8	0,0	2841	13015
					2100	0,0 - 5,5	3,8		3231	
					2600	0,0 - 5,5	3,8		3334	
					900	0,0 - 5,5	3,8		3609	
ATR4518R13V06	54°11'04.50"N 19°23'47.70"E	180	180	32,80	1800	0,0 - 6,0	3,8	0,0	2745	12574
					2100	0,0 - 6,0	3,8		3111	
					2600	0,0 - 6,0	3,8		3196	
					900	0,0 - 6,0	3,8		3522	
ATR4518R13V06	54°11'04.50"N 19°23'47.70"E	348	348	40,80	1800	0,0 - 7,0	3,8	0,0	2563	11739
					2100	0,0 - 7,0	3,8		2886	
					2600	0,0 - 7,0	3,8		2936	
					900	0,0 - 7,0	3,8		3354	
120115	54°11'04.50"N 19°23'47.70"E	78	78	36,80	2600	2,0 - 5,5	3,8	0,0	15098	15098
120115	54°11'04.50"N 19°23'47.70"E	180	180	28,80	2600	2,0 - 5,5	3,8	0,0	14068	14068
120115	54°11'04.50"N 19°23'47.70"E	348	348	32,80	2600	2,0 - 5,5	3,8	0,0	15098	15098

Tabela 2. Anteny radioliniowe- dane otrzymane od klienta

Typ anteny	Współrzędne geograficzne	Azymut [°]	Średnica [m]	Pasma częstotliwości [GHz]	Zysk energetyczny [dBi]	Moc wyjściowa nadajnika [dBm]	EIRP [W]	Wysokość środka elektrycznego anten n.p.t. [m]
VHLP1-80	54°11'04.50"N 19°23'47.70"E	172	0,3	80	43,5	0	22,39	33,0

#### 6. Wyniki pomiarów.

Wyniki pomiarów pól elektromagnetycznych dla celów ochrony środowiska przedstawia poniższa tabela. Piony pomiarowe zostały przedstawione w zał. 2.

Nr PP	Pole-E [V/m]	Pole-E, +U [V/m]	Pole-H [A/m]	Pole-H +U [A/m]	Wys. pomiaru [m]	Opis pionu	Uwagi	WM <sub>E</sub>	WM <sub>H</sub>
1	0,7*	1,27	0,002	0,003	0,3-2,0	N:54°11'04.7" E:19°23'48.3"	otoczenie stacji bazowej - 50m wzdłuż gł. osi promieniowania - GKP	0,045	0,046
2	0,7*	1,27	0,002	0,003	0,3-2,0	N:54°11'05.4" E:19°23'50.9"	otoczenie stacji bazowej - 100m wzdłuż gł. osi promieniowania - GKP	0,045	0,046
3	0,7*	1,27	0,002	0,003	0,3-2,0	N:54°11'05.5" E:19°23'53.2"	otoczenie stacji bazowej - 150m wzdłuż gł. osi promieniowania - GKP	0,045	0,046
4	0,8	1,27	0,002	0,003	0,3-2,0	N:54°11'05.7" E:19°23'56.3"	otoczenie stacji bazowej - 200m wzdłuż gł. osi promieniowania - GKP	0,045	0,046
5	0,9	1,43	0,002	0,004	0,3-2,0	N:54°11'06.3" E:19°23'59.3"	otoczenie stacji bazowej - 250m wzdłuż gł. osi promieniowania - GKP	0,051	0,052
6	1,1	1,75	0,003	0,005	0,3-2,0	N:54°11'06.8" E:19°24'04.0"	otoczenie stacji bazowej - 300m wzdłuż gł. osi promieniowania - GKP	0,062	0,064
7	1,2	1,91	0,003	0,005	0,3-2,0	N:54°11'06.8" E:19°24'06.1"	otoczenie stacji bazowej - 370m wzdłuż gł. osi promieniowania - GKP	0,068	0,069
8	0,7*	1,27	0,002	0,003	0,3-2,0	N:54°11'02.8" E:19°23'45.3"	otoczenie stacji bazowej - 50m wzdłuż gł. osi promieniowania - GKP	0,045	0,046
9	0,7*	1,27	0,002	0,003	0,3-2,0	N:54°11'00.8" E:19°23'45.5"	otoczenie stacji bazowej - 100m wzdłuż gł. osi promieniowania - GKP	0,045	0,046
10	0,8	1,27	0,002	0,003	0,3-2,0	N:54°10'59.4" E:19°23'45.5"	otoczenie stacji bazowej - 150m wzdłuż gł. osi promieniowania - GKP	0,045	0,046
11	0,9	1,43	0,002	0,004	0,3-2,0	N:54°10'57.7" E:19°23'45.5"	otoczenie stacji bazowej - 200m wzdłuż gł. osi promieniowania - GKP	0,051	0,052
12	1,1	1,75	0,003	0,005	0,3-2,0	N:54°10'56.4" E:19°23'45.3"	otoczenie stacji bazowej - 250m wzdłuż gł. osi promieniowania - GKP	0,062	0,064
13	1,2	1,91	0,003	0,005	0,3-2,0	N:54°10'54.5" E:19°23'45.3"	otoczenie stacji bazowej - 300m wzdłuż gł. osi promieniowania - GKP	0,068	0,069
14	1,1	1,75	0,003	0,005	0,3-2,0	N:54°10'53.7" E:19°23'45.3"	otoczenie stacji bazowej - 330m wzdłuż gł. osi promieniowania - GKP	0,062	0,064
15	0,7*	1,27	0,002	0,003	0,3-2,0	N:54°11'08.2" E:19°23'44.4"	otoczenie stacji bazowej - 100m wzdłuż gł. osi promieniowania - GKP	0,045	0,046
16	0,7*	1,27	0,002	0,003	0,3-2,0	N:54°11'09.5" E:19°23'43.9"	otoczenie stacji bazowej - 150m wzdłuż gł. osi promieniowania - GKP	0,045	0,046
17	0,8	1,27	0,002	0,003	0,3-2,0	N:54°11'10.8" E:19°23'43.9"	otoczenie stacji bazowej - 200m wzdłuż gł. osi promieniowania - GKP	0,045	0,046
18	1,0	1,59	0,003	0,004	0,3-2,0	N:54°11'12.5" E:19°23'43.0"	otoczenie stacji bazowej - 250m wzdłuż gł. osi promieniowania - GKP	0,057	0,058
19	1,1	1,75	0,003	0,005	0,3-2,0	N:54°11'14.2" E:19°23'42.5"	otoczenie stacji bazowej - 300m wzdłuż gł. osi promieniowania - GKP	0,062	0,064
20	1,0	1,59	0,003	0,004	0,3-2,0	N:54°11'16.0" E:19°23'41.6"	otoczenie stacji bazowej - 350m wzdłuż gł. osi promieniowania - GKP	0,057	0,058
21	0,9	1,43	0,002	0,004	0,3-2,0	N:54°11'17.2" E:19°23'41.6"	otoczenie stacji bazowej - 410m wzdłuż gł. osi promieniowania - GKP	0,051	0,052
22	0,7*	1,27	0,002	0,003	0,3-2,0	N:54°11'07.3" E:19°23'47.8"	otoczenie stacji bazowej - GKP	0,045	0,046
23	0,7*	1,27	0,002	0,003	0,3-2,0	N:54°11'05.8" E:19°23'47.8"	otoczenie stacji bazowej - GKP	0,045	0,046
24	0,7*	1,27	0,002	0,003	0,3-2,0	N:54°11'03.9" E:19°23'50.4"	otoczenie stacji bazowej - GKP	0,045	0,046
25	0,7*	1,27	0,002	0,003	0,3-2,0	N:54°11'03.2" E:19°23'47.5"	otoczenie stacji bazowej - GKP	0,045	0,046
26	0,7*	1,27	0,002	0,003	0,3-2,0	N:54°11'02.4" E:19°23'43.7"	otoczenie stacji bazowej - GKP	0,045	0,046
27	0,7*	1,27	0,002	0,003	0,3-2,0	N:54°11'04.2" E:19°23'44.2"	otoczenie stacji bazowej - GKP	0,045	0,046
28	0,7*	1,27	0,002	0,003	0,3-2,0	N:54°11'06.0" E:19°23'43.1"	otoczenie stacji bazowej - GKP	0,045	0,046
A	0,7*	1,27	0,002	0,003	0,3-2,0	N:54°11'04.9" E:19°23'46.3"	Wiejska 4a, pomiar przed budynkiem -DPP	0,045	0,046
B	0,7*	1,27	0,002	0,003	0,3-2,0	N:54°11'06.1" E:19°23'44.8"	Wiejska 4, pomiar przed budynkiem - DPP	0,045	0,046
C	0,7*	1,27	0,002	0,003	0,3-2,0	N:54°11'05.5" E:19°23'42.4"	Wiejska 31/31a, pomiar przed budynkiem -DPP	0,045	0,046

D	0,7*	1,27	0,002	0,003	0,3-2,0	N:54°11'04.5" E:19°23'42.5"	Wiejska 32, pomiar przed budynkiem -DPP	0,045	0,046
E	0,7*	1,27	0,002	0,003	0,3-2,0	N:54°11'06.1" E:19°23'41.2"	Wiejska 31a/31b, pomiar przed budynkiem -DPP	0,045	0,046
F	0,7*	1,27	0,002	0,003	0,3-2,0	N:54°11'02.2" E:19°23'43.8"	Wiejska 3c, pomiar przed budynkiem -DPP	0,045	0,046
G	0,7*	1,27	0,002	0,003	0,3-2,0	N:54°11'02.8" E:19°23'40.7"	Wiejska 33, pomiar przed budynkiem -DPP	0,045	0,046
H	0,7*	1,27	0,002	0,003	0,3-2,0	N:54°11'02.9" E:19°23'47.5"	Podgórna 1, pomiar przed budynkiem -DPP	0,045	0,046
I	0,7*	1,27	0,002	0,003	0,3-2,0	N:54°11'02.9" E:19°23'48.6"	Budynek bez adresu, pomiar przed budynkiem -DPP	0,045	0,046
J	0,7*	1,27	0,002	0,003	0,3-2,0	N:54°11'05.7" E:19°23'49.4"	Podgórna 10, pomiar przed budynkiem -DPP	0,045	0,046
K	0,7*	1,27	0,002	0,003	0,3-2,0	N:54°11'07.3" E:19°23'43.8"	Wiejska 5, pomiar przed budynkiem -DPP	0,045	0,046
L	0,7*	1,27	0,002	0,003	0,3-2,0	N:54°11'09.5" E:19°23'43.3"	Wiejska 6, pomiar przed budynkiem -DPP	0,045	0,046
M	1,0	1,59	0,003	0,004	0,3-2,0	N:54°11'12.3" E:19°23'42.5"	Okulickiego 1/2/3, pomiar przed budynkiem -DPP	0,057	0,058
N	0,8	1,27	0,002	0,003	0,3-2,0	N:54°11'06.4" E:19°23'53.5"	Kasprzaka 9/8/7, pomiar przed budynkiem -DPP	0,045	0,046
O	0,9	1,43	0,002	0,004	0,3-2,0	N:54°11'05.8" E:19°23'57.3"	Kasprzaka 6/5/4, pomiar przed budynkiem -DPP	0,051	0,052
P	1,0	1,59	0,003	0,004	0,3-2,0	N:54°11'05.8" E:19°24'00.5"	Kasprzaka 13, pomiar przed budynkiem -DPP	0,057	0,058
R	0,8	1,27	0,002	0,003	0,3-2,0	N:54°11'00.5" E:19°23'46.2"	Wiejska 3b, pomiar przed budynkiem -DPP	0,045	0,046
S	0,9	1,43	0,002	0,004	0,3-2,0	N:54°10'57.9" E:19°23'43.8"	Wiejska 2e, pomiar przed budynkiem -DPP	0,051	0,052
T	1,0	1,59	0,003	0,004	0,3-2,0	N:54°10'56.9" E:19°23'43.8"	Wiejska 2c/2b, pomiar przed budynkiem -DPP	0,057	0,058
U	1,1	1,75	0,003	0,005	0,3-2,0	N:54°10'55.7" E:19°23'43.8"	Wiejska 2a, pomiar przed budynkiem -DPP	0,062	0,064
W	1,2	1,91	0,003	0,005	0,3-2,0	N:54°10'45.9" E:19°23'43.8"	Wiejska 2a/1b, pomiar przed budynkiem -DPP	0,068	0,069
V	1,1	1,75	0,003	0,005	0,3-2,0	N:54°10'53.9" E:19°23'44.5"	Wiejska 1a/1, pomiar przed budynkiem -DPP	0,062	0,064

Wynik pomiaru pole - E [V/m] - maksymalna wartość chwilowa zmierzona w danym pionie pomiarowym (uśredniona na podstawie punktu 11 załącznika do Rozporządzenia Ministra Klimatu z dnia 17 lutego 2020 r. w sprawie sposobów sprawdzania dotrzymania dopuszczalnych poziomów pól elektromagnetycznych w środowisku (Dz.U. 2022 poz. 2630)). Zgodnie z pkt. 7 załącznika do Rozporządzenia Ministra Klimatu z dnia 17 lutego 2020 r. w sprawie sposobów sprawdzania dotrzymania dopuszczalnych poziomów pól elektromagnetycznych w środowisku (Dz.U. 2020 poz. 258, Dz.U. 2022 poz. 1121) nie stosuje się poprawek pomiarowych.

Przyjęto najniższą dopuszczalną wartość składowej elektrycznej pola dla objętego pomiarami zakresu częstotliwości  $\min(ME_{gr}) = 28 \text{ V/m}$  oraz składowej magnetycznej  $\min(MH_{gr}) = 0,073 \text{ A/m}$ .

\* - wartość zmierzona poniżej zakresu akredytacji. Do obliczeń przyjęto wartość zgodną z dolną granicą akredytowanego zakresu pomiarowego metody.

GKP - główne kierunki pomiarowe

PKP - pomocnicze kierunki pomiarowe

DPP - dodatkowe punkty pomiarowe

PP - pion pomiarowy

U - niepewność pomiarowa rozszerzona, przy poziomie ufności 95%, z uwzględnieniem współczynnika rozszerzenia  $k=2$

$WM_E$  - wartość wskaźnikowa poziomu emisji pól elektromagnetycznych dla miejsc dostępnych dla ludności dla składowej elektrycznej pola

$WM_H$  - wartość wskaźnikowa poziomu emisji pól elektromagnetycznych dla miejsc dostępnych dla ludności dla składowej magnetycznej pola

## 7. Stwierdzenie zgodności

Na podstawie wytycznych podanych w Rozporządzeniu Ministra Zdrowia z dnia 17 grudnia 2019 r. w sprawie dopuszczalnych poziomów pól elektromagnetycznych w środowisku (Dz.U. 2019 poz. 2448) oraz sposobów

„Bez pisemnej zgody Laboratorium niniejsze sprawozdanie nie może być powielane inaczej, jak tylko w całości. Ponadto wyniki dotyczą tylko badanych obiektów przywołanych w niniejszym sprawozdaniu z badań”

sprawdzania dotrzymania tych poziomów zgodnie z Rozporządzeniem Ministra Klimatu z dnia 17 lutego 2020 r. w sprawie sposobów sprawdzania dotrzymania dopuszczalnych poziomów pól elektromagnetycznych w środowisku (Dz.U. 2022 poz. 2630), dotyczących źródła wymagań, które muszą być spełnione, w oparciu o zasadę podejmowania decyzji zgodną z pkt. 26 Rozporządzenia Ministra Klimatu z dnia 17 lutego 2020 r. (Dz.U. 2022 poz. 2630), na podstawie wyników pomiarów pól elektromagnetycznych wykonanych w dniu 01.06.2023 stwierdzono, że wszystkie wyniki przeprowadzonych pomiarów w danym obszarze pomiarowym oraz wyznaczone na tej podstawie wskaźniki WME oraz WMH są mniejsze od wartości dopuszczalnych – zgodnie z przepisami wydanymi na podstawie art. 122 ust. 1 ustawy z dnia 27 kwietnia 2001 r. – Prawo ochrony środowiska – załącznikiem do Rozporządzenia Ministra Klimatu i Środowiska z dnia 17 lutego 2020 r. w sprawie sposobów sprawdzania dotrzymania dopuszczalnych poziomów pól elektromagnetycznych w środowisku (Dz.U. 2022 poz. 2630, pkt 26).

## 8. Oświadczenie.

Wyniki badania odnoszą się wyłącznie do badanego obiektu.

Bez pisemnej zgody sprawozdanie nie może być powielane inaczej, jak tylko w całości.

Uwagi i zastrzeżenia przyjmowane są w formie pisemnej.

## 9. Spis załączników.

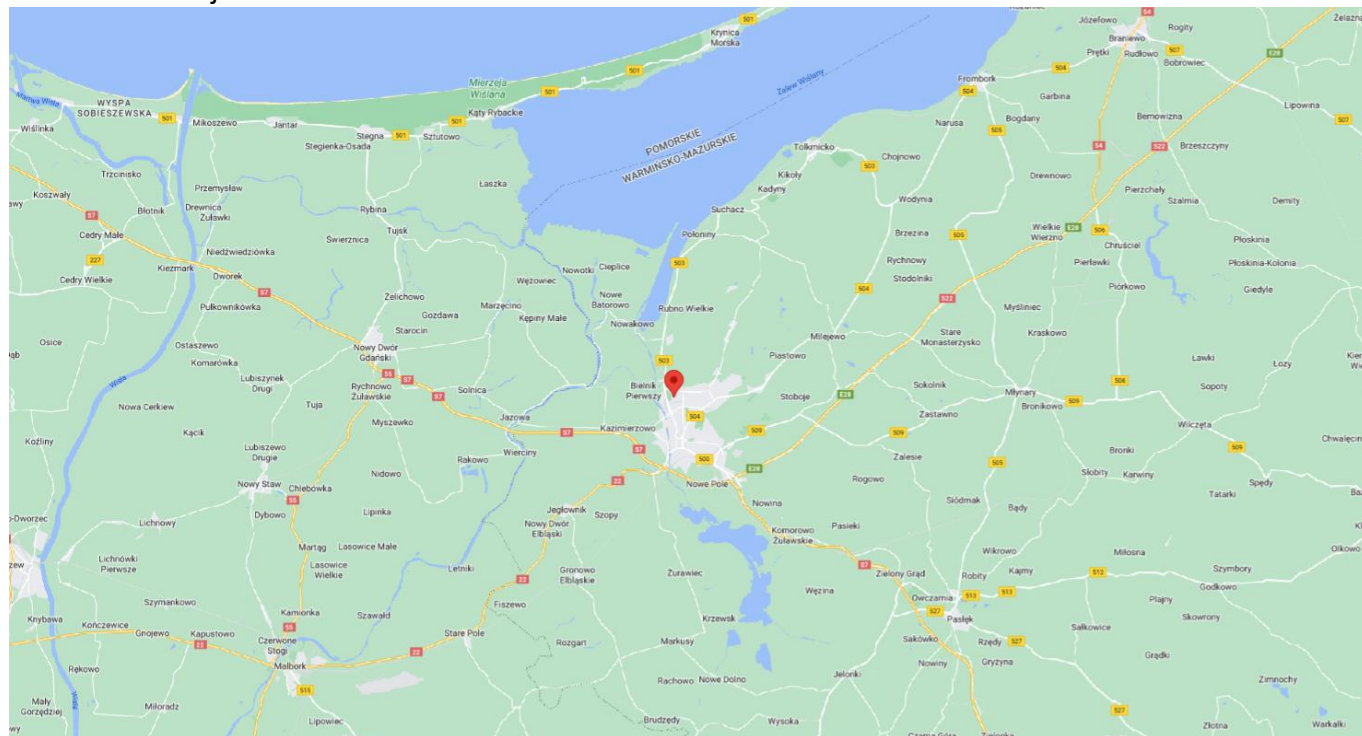
Załącznik 1. Lokalizacja obiektu.

Załącznik 2. Widok pionów pomiarowych

Załącznik 3. Załączniki graficzne

## Koniec sprawozdania

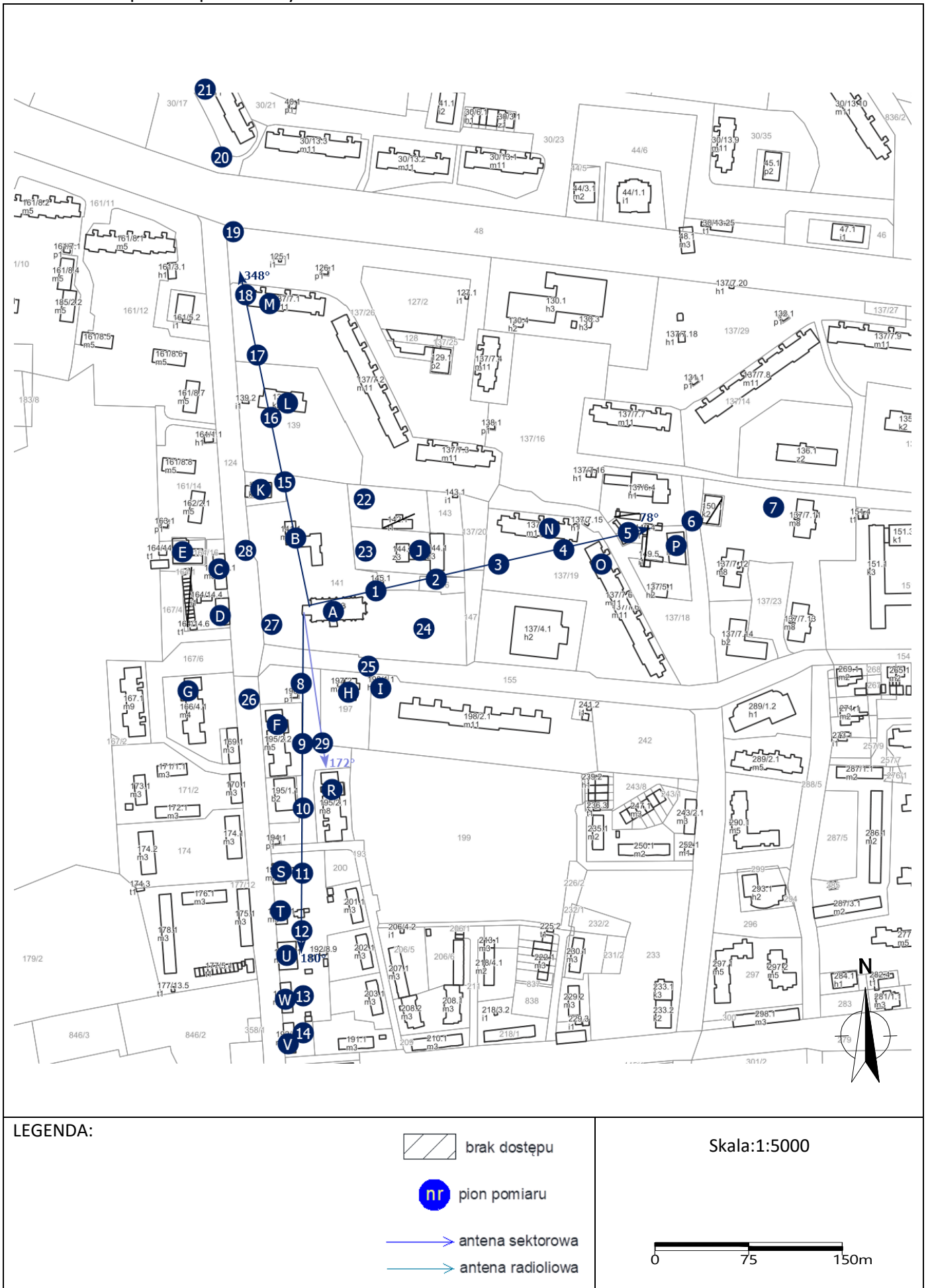
### Załącznik 1. Lokalizacja obiektu



Współrzędne geograficzne	
długość:	19°23'47.70"E
szerokość:	54°11'04.50"N



## Załącznik 2. Widok pionów pomiarowych



„Bez pisemnej zgody Laboratorium niniejsze sprawozdanie nie może być powielane inaczej, jak tylko w całości. Ponadto wyniki dotyczą tylko badanych obiektów przywołanych w niniejszym sprawozdaniu z badań”

Załącznik 3. Załączniki graficzne.

